長行を折畳む疎行列ベクトル積方式と Gather機能付メモリによる高速化

受付日 2012年1月17日, 採録日 2012年4月22日

概要:本論文では、疎行列ベクトル積のベクトルがデバイスメモリに入りきらないほど大きな問題向けの並列処理方式を提案する。提案手法は Gather 機能を有する大容量機能メモリ(メモリアクセラレータ)が実現できると仮定し、これが整列したデータを GPU がアクセスする。長い行を適切な折り目で折り畳む提案アルゴリズム(Fold 法)が負荷分散を改善し並列性を高める。これが生成した行列を転置して用いる方式は GPU 向けのアクセス順序にしている。フロリダ大学の疎行列コレクションを用いて提案方式の性能評価を行った。その結果、間接アクセスの直接アクセス化により、単体性能は既存研究の最大 4.1 倍に向上した。GPU 内キャッシュが溢れる心配もない。GPU 間の 1 対 1 通信を完全に排除可能にした構成によりスケーラビリティは保証されており、機能メモリとのインタフェースのバースト転送バンド幅で制約される単体性能にノード数を乗じたものが並列実効性能となる。

キーワード: 疎行列ベクトル積, アルゴリズム, 負荷分散, GPGPU, メモリシステム, 機能メモリ, Gather機能

Acceleration of Sparse Matrix-vector Product by Algorithm with Folding Long Rows and Memory with Gather Functions

Noboru Tanabe $^{1,a)}$ Junko Kogou $^{2,\dagger 1}$ Yuka Ogawa $^{2,\dagger 2}$ Masami Takata $^{2,b)}$ Kazuki Joe $^{2,c)}$

Received: January 17, 2012, Accepted: April 22, 2012

Abstract: In this paper, we propose a parallel processing strategy for huge scale sparse matrix-vector product whose vector cannot be held on a device memory. The strategy uses a system with GPUs accessing data aligned by functional memories named Memory Accelerator with gather function. This strategy assumes the feasibility of the Memory Accelerator. Proposed algorithm named "Fold method" improves load distribution and parallelism. Transposing matrix produced by it improves access sequence for GPU. We evaluate the performance of proposed strategy with University of Florida Sparse Matrix Collection. The result shows the 4.1 times acceleration over the existing performance record with a GPU in the maximum case. There is no risk of performance degradation by overflowing cache capacity on GPU. Because of the architecture without inter-GPU communications, scalability is guaranteed. Therefore, parallel effective performance is the product of number of nodes and single GPU performance limited by burst transfer bandwidth of interface of functional memory.

Keywords: sparse matrix-vector product, algorithm, load balancing, GPGPU, memory system, functional memory, gather function

¹ 株式会社東芝

Toshiba corporation, Kawasaki, Kanagawa 212–8582, Japan

² 奈良女子大学

Nara Women's University, Nara 630–8506, Japan

¹ 現在,株式会社日立製作所 Presently with Hitachi, Ltd.

Presently with Fujitsu, Ltd.

a) noboru.tanabe@toshiba.co.jp

 $^{^{\}mathrm{b})}$ takata@ics.nara-wu.ac.jp

c) joe@ics.nara-wu.ac.jp

1. はじめに

ベクトル型スーパコンピュータの演算能力は COTS (commercial off-the-shelf) の CPU や GPU で代替可能なケースが多い。GPU の演算能力はすでに 1 TFLOPS を超えており、それを生かした GPGPU 研究の成功例 [1] は数多く報告されている。一方、キャッシュや GPU の統合メモリアクセスでは救済できない大容量メモリに対するランダムアクセスを主体にするアプリケーションでは、必ずしも COTS がベクトル型スーパコンピュータを代替できない。GPU 基板上のデバイスメモリの容量は現状では最大でも 6 GB にすぎない。それを超える大規模データを処理する場合、バースト転送しか効率的に実行できない通信経路(PCI express)がボトルネックになっていた。

上記の問題を解決するため、筆者らは疎行列ベクトル積の高速化アルゴリズムを提案する. さらに、Scatter/Gather機能を有する拡張大容量機能メモリ(メモリアクセラレータ)が実現できると仮定し、これが整列したデータを GPU がアクセスするヘテロジニアスシステムを提案する.

以下,本論文では2章で解決すべき課題を示し,3章で提案疎行列ベクトル積アルゴリズムを述べる.4章では提案システムを示す.5章では従来のGPUクラスタや提案システムで想定される性能ボトルネックについて述べる.6章では性能評価を示し、最後に7章でまとめる.

2. 解決すべき課題

本研究ではアプリケーションとして疎行列ベクトル積を検討対象とする。疎行列ベクトル積は連立一次方程式や固有値求解において最もよく使われる CG 法を代表とするクリロフ部分空間法の中核的処理である。よって非常に広範囲の科学技術計算アプリケーション上で実行時間の大半を占める。このため、数多くの研究がこの高速化に向けて行われてきた。

しかしながら,とりわけランダムに近い非零要素配置を有する行列を扱う場合,キャッシュが効きにくく,列ベクトルサイズがキャッシュ容量より十分大きい場合,1個のキャッシュライン(典型例では128バイト)の中に使うデータが4~8バイトしかない非効率的なメモリアクセスが多発し,メモリバンド幅がボトルネックとなる。このためベクトル型スーパコンピュータ以外での効率的な処理は容易ではなかった。一方,近年では広大なメモリバンド幅を背景にGPGPUでも複数の実装成功例[1],[2],[3],[4],[11]が報告されるようになってきた。ただし,CPUよりもGPUの方がメモリ容量と引き換えに広いメモリバンド幅が実装されていることが性能向上の要因であり,GPU内部の演算器は遊んでいる状態にある。従来のGPUにおける測定例[18]ではランダムアクセスバンド幅が1GB/s程度しか得られていなかった。新しいGPUやハイエンドGPUで

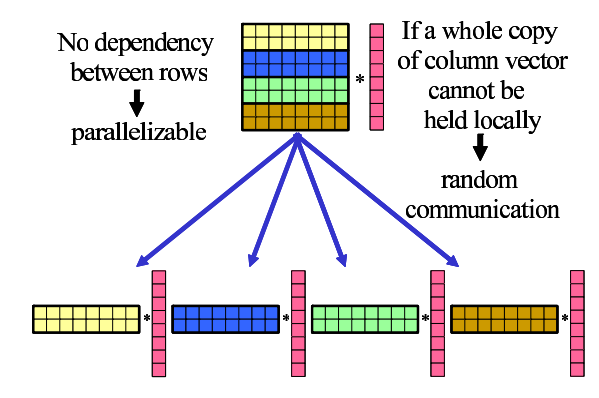


図 1 スケーラブルな疎行列ベクトル積の並列化戦略

Fig. 1 Parallelization strategy for scaleable sparse matrixvector product.

はよりカタログ上の仕様では周波数やビット幅が改善されているが、バースト長が短いランダムアクセスではその効果はストレートには現れない.

疎行列ベクトル積の処理は、図1に示すように疎行列を構成する行ベクトル群と列ベクトルの積に分解できる.この場合、行間にはデータ依存関係がないため、列ベクトルのコピーを全ノードが保持したうえで、メモリ容量の制約に合わせ疎行列を行単位でノードに分割することで、スケーラビリティを阻害するノード間通信を排除することは容易である.

ただし、入力された列ベクトルすべてのコピーをローカ ルに保持できないと, 行ベクトルの非零要素の位置に対応 する列ベクトルの要素を読み出す際に, ランダムでバース ト長が短いノード間通信が発生する. ノード数が増えるほ どこの通信は増加するため、列ベクトルすべてのコピーを ローカルに保持できないとスケーラブルにならない. GPU はメモリバンド幅の観点では疎行列ベクトル積に適する が、GPU のデバイスメモリの容量制約は汎用 CPU に比 べ厳しく, スケーラビリティの問題は汎用 CPU より深刻 である. たとえば 6 GB のデバイスメモリがある GPU に おいて列ベクトルと行ベクトルをデバイスメモリの半分ず つ使って格納した場合、倍精度浮動小数の要素数が375 M 個を超えるベクトルを扱うとランダムアクセスが GPU 外 部に溢れる.つまり 375 M を大幅に超える 1000³ 以上の格 子点を扱う大規模で不規則な疎行列ベクトル積を, 単純な GPU クラスタはスケーラブルに並列処理することが困難 である. 非零要素の配置パターンは多様であるため, アプ リケーションへの汎用性を保ったまま効率的にタイリング を行うことも困難である.

本研究では疎行列そのものだけでなく、疎行列に乗じられる密な列ベクトルすら1個のGPUのデバイスメモリに入りきらない大きな疎行列ベクトル積を対象とする。その際、メモリバンド幅の観点で有利なGPUを用い、行列形状への高い適応性を有しつつ、効率的かつスケーラブルに処理できるようにすることを目標とする。

3. 提案システム向け疎行列ベクトル積アルゴ リズム

本章では、最終的には GPU のデバイスメモリに入りきらないほど大きなベクトルに対応するために、後述する提案システムを用いることを想定しつつも、小規模な行列で提案システム以外に適用した際にも効果が期待できる疎行列ベクトル積アルゴリズムを提案する GPU のデバイスメモリに入りきらないほど大きなベクトルに対する疎行列ベクトル積の提案システム向けの手順について論じる.

3.1 基本方針

GPU 間の細粒度な 1 対 1 通信を排除することでスケーラビリティを得ることを目指し、図 1 に示された並列化戦略で提案システムを用いて疎行列ベクトル積を実行するものとする。列ベクトルは全機能メモリにコピーを保持する。

行列ベクトル積においては、行列データは1回の積和演算にしか用いられないため再利用性がない。つまり行列データを共有メモリやキャッシュによって再利用する意義はない。行列に乗ずるベクトルには多少の再利用性が存在する。しかし、帯幅が大きくない帯行列的な非零要素の配置でない限り、GPU上の小容量なキャッシュではデバイスメモリ(キャッシングされるTextureメモリ)に入りきらないほどの大きなベクトルを効率的に再利用することは困難であると考えられる。よって、行列データや行列に乗ずるベクトルデータの格納法やアクセス方法は、再利用よりもグローバルメモリからの転送を効率化することを優先して考える。

GPU上で実行する前の前処理として、GPUが扱いやすい状態にデータ構造を整える。これに加えて、GPU向けの最適化を促進するためには、実効バンド幅が高い Coalesced access になるようにする点、最内側ループ内に IF 文が来ないようにする点、スレッドを多数起動して負荷が均衡するようにする点等を考慮する必要がある。

3.2 前処理

以上をふまえて,以下の前処理を行う.前処理における 行列の整形と転置の流れを図2示す.

(1) 行列の整形

アプリケーションによって1行あたりの非零要素数には 差があるとともに、その値のばらつき方も異なる。単純な 行分割による負荷分散では非零要素数最大の行のみによっ て実効時間が決まってしまう。これを回避するために、行 列の形を整形する必要がある。

その方法にはいくつか考えられるが、提案アルゴリズムでは、たとえばホスト上で適宜 0 パディング (CRS 形式等で省略されていた零要素の位置に記憶領域を割り当て、そこを 0 で初期化すること) や折り畳み (非零要素が多い行

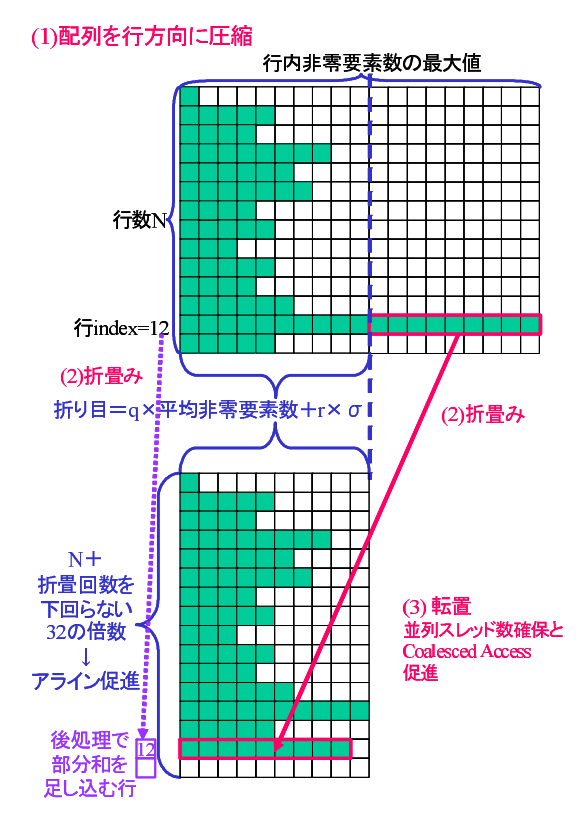


図 2 前処理における行列の整形と転置の流れ

Fig. 2 Proposed preprocesses for a sparse matrix to be multiplied.

を分割し、複数スレッドに割り当てること)を行うことで行列の形を整形する。この例提案アルゴリズムの一実装形態では、大半の行で折り畳みが生じず、かつ、1 行あたりの平均非零要素数にできるだけ近い列数を持つ縦長の二次元配列に整形する。この列数が全スレッドの最内ループの回数となるため、これを最適化することが実行時間短縮につながる。たとえば、折り目の位置を行内非零要素数の平均に係数qを乗じたものとし、最適なqの値を経験的に探す。本論文の後半の評価においてはq=1.5の場合について評価を行った。

他の実装形態としては、折り目を行あたり平均非零要素数+行あたり非零要素数の標準偏差 $\sigma \times r$ とする方式もありうる。ここでr=2とすれば、分布を正規分布と仮定した場合には95.4%の行で折り畳みが生じないようにできるので、おおむね10%以下の行数増加にとどめつつ、実行時間に直結するカーネルの最内ループ回数を行内最大非零要素数から行内平均非零要素数 + 2σ に短縮できる。 σ の導入は分布の違いをある程度反映した折り目を与えると考えられる。しかし、平均値以下の位置で積極的に折り畳むと良い場合をこのままでは反映できない。より汎用な最適化指標を与えるべく、上記の2つを併合した $q \times$ 行内非零要素数の平均 + $r \times \sigma$ を折り目として、最適値を与える係数(q,r) の探索は今後の課題とする。

ここまでの前処理アルゴリズムを Fold 法と名づける. 上

記の Fold 法では後述する機能メモリをいっさい使っていない。このため、通常の CPU や GPU のみのシステムにも適用することができ、負荷分散等の効果が期待できる。本論文の主眼は機能メモリを用いる場合の評価にあり、用いない場合の評価は今後の課題とする。

なお、GPU での最適化に関して、アラインメントを考慮する必要があるが、次のステップ(転置)にともない、上記の列数はアラインメントには影響しない。一方、整形後の配列の行数はスレッド数に対応する。これが半端な値であると次のステップ(転置)によって行の先頭位置のアラインメントがずれてしまう。よって、折り畳み分を加算した行数より大きく、かつ 32(複数 GPU で実行する場合はGPU 数 \times 32)で割り切れる行数に、0 パディングによって整形する。

(2) 行列およびインデックスの転置と転送

通常の CRS 形式による行列の格納方式によれば,行列の非零要素は同じ行の非零要素がアドレス連続方向に並ぶ.一方, GPU は隣接スレッドが同時にアクセスするデータが隣接アドレスに並ぶときに最も効率的なメモリアクセスになる.各スレッドが行または部分行を担当するようにカーネル処理を割り当てた場合,上記の条件を満たすために(1)において整形した配列を転置する.その結果,横長の二次元配列となる.

複数 GPU で実行する場合は上記の横長配列を縦方向に 等分した配列を各 GPU に分配する. 1 行あたりの平均非 零要素数が多い行列の場合,転置処理自体がキャッシュ ベースのホスト CPU には苦手な処理になる.

その処理時間が問題になる場合は,(1)でできた配列を 後述する機能メモリに転送し,機能メモリ上で等間隔アク セスによる並べ替えを行う.そのうえで,GPUのグロー バルメモリにバースト転送することで問題を回避できる.

3.3 カーネル部

GPUで実行されるカーネル部は、上記の前処理によって同じ長さの短い密ベクトルと密ベクトルの内積処理を多数のスレッドが実行する状態に置き換えられる。後述する機能メモリを用いない場合はここが間接参照になり、キャッシュが効かない場合は性能が劣化する。後述する機能メモリを用いる場合は行列およびベクトルへのアクセスはアラインメントされた位置からのスレッド番号順に連続するグローバルメモリへの直接参照となり、全アクセスがCoalesced access となる。

3.4 後処理

折り畳んだ行については部分和を足しこんで、最終的な結果ベクトルの値を計算する. この計算を複数の GPU で行うと別 GPU にある部分和との加算が発生してスケーラビリティが低下する可能性がある. さらに GPU は IF 文の

実行がホスト CPU に比べて得意ではない。このため、部分和をすべてホストに転送し、ホスト CPU 上で折り畳んだ行の値を足しこむのが望ましいと考えられる。後処理をどのように行うと良いかはシステム構成や行列のサイズや非零要素配置に依存すると考えられるため、詳細な検討は今後の課題とする。

4. 提案システムアーキテクチャ

4.1 基本コンセプト

機能メモリ(メモリアクセラレータ)と GPU 等のアクセラレータを組み合わせることにより、従来のシステムでは効率が悪かったメモリアクセスを効率化し、その結果として高い実行性能を得る方式を提案する. 図3 に機能メモリのインタフェースに PCI express 等の高バンド幅な標準 I/O を用いる場合の提案アーキテクチャの基本概念を示す.

機能メモリはアクセラレータの外付けデバイスとして、メモリ容量の厳しい制限を解消し、エラー訂正機能が付いた拡張メモリとして用いられる。さらに機能メモリはホストの主記憶と異なり、PCI express 等の標準 I/O を通過するデータ量を削減する機能や転送効率を向上させるための機能を有する。機能メモリの具体的な機能として代表的なものは、DIMMnet-2 [5] や DIMMnet-3 [6] に実装されている Scatter/Gather (分散/収集)機能である。

従来の GPU ではデバイスメモリに対するランダムアクセスバンド幅は Coalesced access の場合と比べて桁違いに低くなる。提案システムでは Scatter/Gather 機能によってランダムアクセスがバーストアクセスに変換される。PCI express を経由してデバイスメモリに転送する場合は、大きいサイズの疎行列ベクトル積の列ベクトルのリストアクセスのように Scatter/Gather 機能付き転送コマンドの起動頻度を抑制できるアプリケーションでは 4~8 GB/s のピークバンド幅に近いバンド幅が得られるようになる。

なお、機能メモリのインタフェースとしては、上記の 説明では一例として PCI express を用いるものについて 説明した. 他にも GPU ベンダ側での対応が必要になるも のの GPU 向けには SLI(Scalable Line Interconnect)や GDDR5 デバイスメモリインタフェース等の高バンド幅な

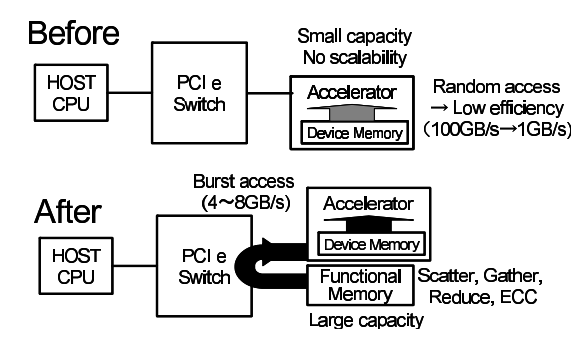


図 3 提案アーキテクチャの基本概念

Fig. 3 The basic concept of the proposed architecture.

インタフェースの利用が考えられる。高バンド幅なインタフェースは一般的にバースト長が長くないと本来の性能を発揮できないことが多い。しかし、機能メモリの分散/収集機能によりバースト長が飛躍的に伸び、転送効率の向上が期待できる。特に GDDR5 DRAM は 1 チップあたり現段階で 7 Gbps \times 32 ビット幅で 28 GB/s が得られる。NVIDIA® Tesla TM C2050/2070 は GDDR5 ポートを 384 ビット分(32 ビット \times 12)に設置している。この GDDR5 ポートを将来の GPU 上で機能メモリ用に 1 チップ分増設または切換え可能に改良することで PCI express より高いバンド幅を機能メモリ側に提供することが可能であると考えられる。理論上、GDDR5 はさらに 4 倍の 28 Gbps まで向上させることができるとされており、本用途への応用は有望と思われる。

さらに、将来展望としては NVIDIA が提案している Exa FLOPS マシン用アーキテクチャである Echelon は Hybrid Memory Cube (HMC) [7] を GPU の発展形のメニーコアプロセッサの主記憶とする。Micron 社により Hotchips23で詳細が発表された HMC は複数の多バンクの DRAM とコントローラを三次元的に積層実装したメモリモジュールである。米国の Exa FLOPS マシンの開発機関である IAAが公開している資料 [8] には Scatter/Gather 機能を有するメモリシステムを開発する Memory project が明記されており、その開発機関に Micron 社があげられている。以上から、将来の HPC 向け HMC の中に Scatter/Gather 機能が入る可能性は大きいと考えられる。Scatter/Gather 機能が入った HMC を GPU に接続する場合は、GPU のデバイスメモリが本研究で提案している機能メモリと同等になる。

4.2 処理の流れ

図4に基本概念に基づく機能メモリアクセス処理の流れの例を示す。なお、ここで示す例は、機能メモリ側がマスタ装置となってデバイスメモリにDMA 転送を行うものである。GPU 側がマスタ装置となって読み出したり、読み出しデータをデバイスメモリに格納せずにそのままローカルメモリ等の GPU 内部資源に転送したりする実装形態もありうる。

- (1) 機能メモリ(たとえば DIMMnet-3) へのコマンドキュー はメモリ空間上にマップされる.よって,ホスト(ま たはアクセラレータ)はアクセスしたい機能メモリに 割り当てられた上記のコマンドキューに対応するアド レスに所定フォーマットでコマンドを書き込む.
- (2) 上記書き込みトランザクションは実行され、アクセス する機能メモリのコマンドキューにコマンドが書き込 まれる.
- (3) 機能メモリはコマンドキューからコマンドを取り出して、記載された内容の機能(たとえば遠隔リストベクトルロード:RVLL)を実行し、指定があれば応答デー

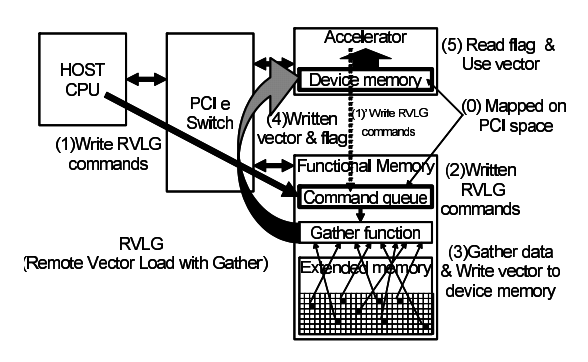


図 4 機能メモリアクセス処理の流れ

Fig. 4 An operation flow of functional memory.

タや完了フラグをコマンドに記述されたアドレスに書き込む.

- (4) 上記書き込みトランザクションは実行され, コマンド は終了する.
- (5) ホスト (またはアクセラレータ) は十分に余裕のある タイミングでコマンドを起動できない場合は必要に応 じて上記完了フラグをポーリングする。もしコマンド が完了していれば、デバイスメモリ上に連続化かつア ライメント調整されて格納済みのベクトルデータに対 する後続の処理を実行する。

4.3 機能メモリによる疎行列ベクトル積

CRS 形式や JDS 形式等によって非零要素のみを用いた行列ベクトル積を行う場合、カーネルの最内側ループには通常だと間接参照が必要になる。つまり、乗ずるベクトルを格納する配列のインデックスが配列になっているループである。この配列が GPU のグローバルメモリに入りきらない場合には、ランダムな GPU 間通信が発生してしまい、GPU 台数を大きくした場合のスケーラビリティに重大な問題が発生するケースが多くなると考えられる。

そこで、容量の制約が GPU より緩い拡張機能メモリを適切な台数の GPU ごとに設置する。そこに乗ずるベクトルを格納することで、この小規模クラスタ内部にすべての1対1通信を閉じ込める。図 5 に機能メモリによるベクトルのプリロードの流れを示す。機能メモリには(2)において転置したインデックス配列(複数の機能メモリを有する場合は、担当する GPU 向けに(2)において分割されたインデックス配列)を指定した間接ベクトルロードコマンドを各機能メモリ上で実行することで、必要なデータを機能メモリの buffer 上に Gather し、GPU のデバイスメモリ(グローバルメモリ)に PCI express バスを介してバースト転送する。こうして GPU の PCI express バスは効率的に動作するようになる。その結果、GPU 上では隣接スレッドがグローバルメモリ上の連続アドレスをアクセスするようにデータが並び、メモリアクセスが高速化する。

なお、上記の動作は 4.2 節 (3) に示されるように、PCI express 接続を用いる場合は、RVLL コマンドにより起動

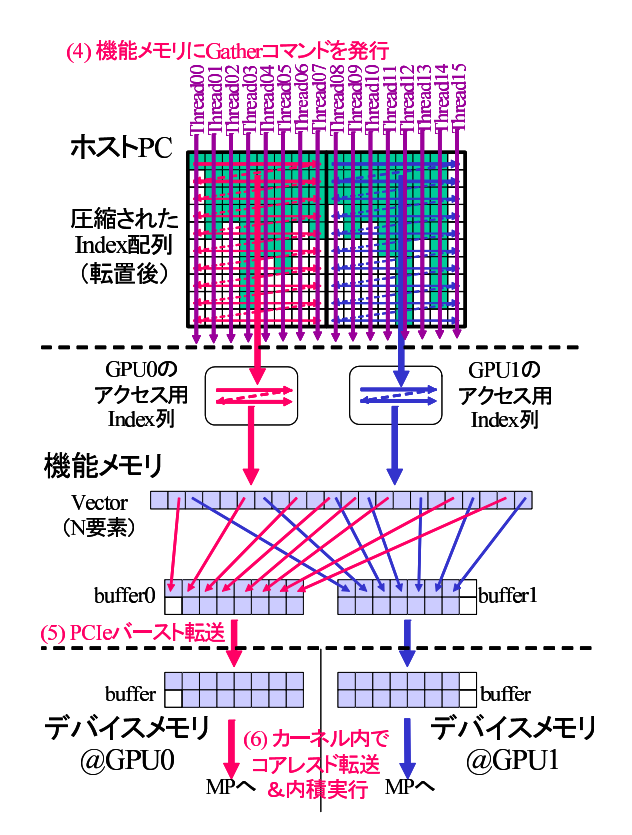


図 5 機能メモリからデバイスメモリへのベクトルのプリロードの 流れ

Fig. 5 Preloading vector from functional memory to device memory on GPU.

される機能メモリ側のハード(DMA)が PCI アドレス空間上にマップされたデバイスメモリ上のバッファ領域に、バースト書き込み転送を行う. 1 回の疎行列ベクトル積では各 GPU が担当するパディングを含む非零要素数(= ベクトルへの間接参照の全アクセス数)× データ 1 個のサイズ(たとえばバッファをデバイスメモリの半分以下の 1 GBに設定したなら 1 GB)のバースト長で 1 回転送を行うことになる。このため、ほとんどのタイミングでソフトウェアは介在せず、DMA セットアップに関するオーバヘッドは無視でき、PCI express のピークに近いバンド幅が期待できる。この動作はホスト OS が介在する可能性のある cudaMemcpy 関数で GB 単位のデータをホスト~GPU 間転送する場合と同等以上のバンド幅が出るように実装可能と考えられる。

4.4 実効メモリバンド幅のスケーラビリティ

疎行列ベクトル積等は実効メモリバンド幅が性能を決めるので、多数のアクセラレータで処理する場合、演算能力の増加に見合った実効メモリバンド幅が得られないと実効 FLOPS 値は向上しない。図 1 に示されたような疎行列ベクトル積の並列化を行う場合を想定すると、アクセラレータの処理能力と機能メモリの転送能力のバランスを考慮してアクセラレータと機能メモリの個数の比率を決め、列ベ

クトルのコピーを複数の機能メモリに保持することで実効 バンド幅のスケーラビリティを維持できる.

多数のアクセラレータを上記の戦略で処理する場合,列 ベクトルのコピーを複数の機能メモリに保持することが必要になるが,放送通信は1対1通信と異なり,ネットワークの工夫によりスケーラブルにできる.

5. 想定されるボトルネック

本章では提案方式や、それを用いない GPU や GPU クラスタで想定されるボトルネックについて考察する.

5.1 デバイスメモリバンド幅

提案方式では機能メモリ上で Gather されたデータをデバイスメモリ経由せずに GPU が用いる実装の場合は、デバイスメモリ上に片方の密ベクトルが存在することになるので、単精度浮動小数の密ベクトルと密ベクトルの内積に要するデバイスメモリバンド幅と演算の比率は 2 バイト/FLOP に緩和される。もし機能メモリ側のバンド幅ではなく、デバイスメモリバンド幅がボトルネックになる場合の FLOPS 値は、評価の章で用いた Tesla C2050 の場合は 144 GB/s/2B/FLOP = 72 GFLOPS となる。機能メモリのバンド幅を単純なデバイスメモリのバンド幅と等しくするのは高コストであり、現実的にはこの実装の場合のボトルネックはデバイスメモリ側ではなくなる。

評価の章では、機能メモリ上で Gather されたデータをデバイスメモリ経由で GPU が用いる実装の場合を採用している。この場合、機能メモリ上で Gather されたデータの書込みと読み出しが増え、デバイスメモリ上で競合するので、デバイスメモリを経由せずに GPU が用いる実装に比べて 3 倍のバンド幅を消費する。現状のバランスとしては PCI express(8 GB/s)とデバイスメモリのバンド幅(144 GB/s)の間には 3 倍をはるかに超える開きがあり、Gather されたデータのバースト的な書き込みによる性能低下が顕在化することはないと考えられる。将来、提案機能メモリをハイブリッドメモリキューブインタフェース等の高バンド幅インタフェースで接続する場合、そのインタフェースバンド幅が何らかの理由でデバイスメモリバンド幅全体の 1/3 以上に設定された場合に限り、デバイスメモリへの書き込みの影響が顕在化する可能性はある。

一方,従来手法ではランダム的なアクセスにともないデバイスメモリがボトルネックで、特にベクトルへのアクセスがキャッシュを使わないと実効バンド幅は PCI express なみに低下してしまう [18]. GPU 単体上でキャッシュを用いても、行列が大きくなりミス率が高くなると、従来手法はデバイスメモリがボトルネックとなる.

提案システムを用いない単純な GPU クラスタの場合,特に非零要素の位置にあるベクトルの要素を別の GPU から集めてこなければならない. このため, その実効バンド

幅は上記のデバイスメモリバンド幅とはかけ離れたものになる. ローカルのデバイスメモリアクセスで済む場合と済まない場合の比率によって,ベクトルに対する実効デバイスメモリバンド幅は大きく変動する.

5.2 GPU~機能メモリ間インタフェースバンド幅

PCI express Gen.2 x16 のピークバンド幅は片方向あたり 8 GB/s である。提案方式ではホストまたは機能メモリからの行列の転送や乗ずるベクトルの転送はこの経路で行われるので、デバイスメモリへのアクセスが連続化された場合は、PCI express のバンド幅がボトルネックとなる。ただし、ここで発生する転送はバースト転送であるため転送効率は高い。

一方、提案システムを用いない単純な GPU クラスタの場合、他の GPU との通信がこの経路を用いることになる。その際のバースト長は長くとることが困難なので、実効バンド幅は提案システムを用いるよりも大幅に低くなると予想される。さらにその通信は Infiniband 等のノード間結合網を介するので、通常そのバンド幅は PCI express のバンド幅よりも低い。

5.3 機能メモリ実効バンド幅

機能メモリにおける不連続アクセス時の実効バンド幅が上記のバンド幅を維持できない場合はこれがボトルネックとなる。文献 [14] で示されているように、DDR3のDRAMを使う場合でも現実的なハードウェア量で 20 GB/s 程度の Gather スループットを実現可能な構成法がある。さらに三次元実装等でバンク数を増やしたり、並列に用いたりすることで補うことも可能である。ただし、機能メモリと GPU の接続部のバンド幅がデバイスメモリバンド幅なみに改善された場合は、機能メモリの Gather スループットの方がボトルネックになる可能性が高いと思われる。

通常の PC の主記憶はキャッシュライン単位のアクセス に対して最適化されたメモリシステムである. つまり連続 アクセスに対するバンド幅は効率的であるが、不連続アク セスに対するバンド幅は低い.一方,本用途に用いられる 機能メモリは不連続アクセスのスループットを高める構 成をとる. 具体的にはベクトル型スーパコンピュータのメ モリシステムのように、多数のバンクから構成されるイン タリーブドメモリに近い構成にすれば, 不連続アクセスス ループットが高まる.他にも、Cell/B.E.の主記憶として有 名な XDR-DRAM や、ネットワーク機器向けの FC-RAM は DRAM チップの内部に多くのバンクが存在する. こ のためこれらは不連続アクセススループットが高い機能 メモリの構成に適していると考えられる. さらに Hybrid Memory Cube (HMC) は多数のメモリチャネルを内在し ていることから不連続アクセススループットが高いことが 予想される.前述のとおり,HMC の中に Scatter/Gather 機能が入る可能性が大きいと考えられる.具体的な機能メモリの構成や、そこで得られる不連続アクセスの実効バンド幅の評価は別論文で扱うものとする.

6. 評価

6.1 実験環境とテスト行列

今回の実験に用いた計算機環境* 1 を表 **1** (C1060 環境) および表 **2** (C2050 環境) に示す. また, 実験に用いた行列を表 **3** に示す.

行列はUniversity of Florida Sparse Matrix Collection [9] から抜粋した。これらは本研究が想定する「乗ずるベクトルが GPU のデバイスメモリに入りきらないほど大きい問題」ではない。しかし、本評価ではそのような大きな問題を提案システム上の複数 GPU に分割して実行する場合に、各 GPU に分配されるデータが上記の行列集と同等の性質を保持していると仮定する。先行研究である Cevahir らの

表 1 測定環境(C1060 環境) Table 1 Evaluation environment (C1060).

ホスト	${ m Intel^{\circledR}~Core^{TM}~i7~CPU~920~2.67GHz}$
GPU	Nvidia Tesla C1060(SP 数 240)
デバイスメモリ	メモリバンド幅 102 GB/s,4 GB
ホスト I/F	PCI express x16 Gen.2
	(最大バンド幅 8 GB/s)
OS	Fedora10
CUDA	Cuda3.0
	·

表 2 測定環境(C2050 環境) **Table 2** Evaluation environment (C2050).

ホスト	Intel [®] Xeon [®] CPU X5670 2.93 GHz
GPU	Nvidia Tesla C2050(CUDA コア数 448)
デバイスメモリ	メモリバンド幅 144 GB/s,3 GB
ホスト I/F	PCI express x16 Gen.2
	(最大バンド幅 8 GB/s)
OS	Red Hat Enterprise Linux Client 5.5
CUDA	Cuda3.2

表 3 評価に用いた行列 Table 3 Evaluated matrices.

行列名	行数	非零要素数	非零要素数/行		
		総数	平均	最大	標準 偏差
Na5	5,832	155,731	26	185	35.7
msc10848	10,848	620,313	57	300	49.4
$exdata_1$	6,001	1,137,751	189	1501	390
$G3_circuit$	1,585,478	4,623,152	2	4	2.2
thermal2	147,900	3,489,300	23	27	6.9
hood	220,542	5,494,489	24	51	13.3
F1	343,791	13,590,452	39	306	20.0
ldoor	952,203	23,737,339	24	49	12.9

^{*1} Intel, Intel Core, Intel Xeon は、米国およびその他の国における Intel Corporation の商標です。

研究 [4] でも同様の行列を用いて疎行列ベクトル積の実測値を公開しているが、今回は特に Cevahir らのプログラムであまり高速化されなかったものを中心に抜粋した.

ここで用いられている行列のサイズでは最大でも乗ずる ベクトルは 6.3 MB にすぎない. これはデバイスメモリ容 量に比べると微々たるものである。よって、本来想定する 状況よりもかなりキャッシュが効きやすい状況(先行研究 に有利な状況設定)での評価であり、キャッシュを用いない 提案方式には不利な状況設定での評価になる. キャッシュ を用いたシステムの小さな問題に対する性能は大きな問題 での性能とかけ離れる危険性が高い. これに対して提案方 式が指向するベクトル型スーパコンピュータの主記憶のよ うに、ランダムアクセス性能を高めたメモリシステムへの ランダムアクセススループットには,容量が溢れない限り, ベクトル長が長いとネガティブに働くサイズ依存効果がな い. さらに、提案方式ではノード数のスケーラビリティを 阻害する1対1通信が排除されている.よって、提案シス テムの小さな問題に対する性能が, 大きな問題でのノード あたりの性能を比較的よく近似できると考えられる.

本研究は Cevahir らの研究 [4] と同様に Mixed Precision iterative refinement アルゴリズム [10] を使うことを想定している。このアルゴリズムは preconditioner として単精度の CG ソルバーを用いる。すべてを倍精度で計算するよりも高速であることが知られている。このため、計算時間の大半を単精度の疎行列ベクトル積が占めることを本研究は想定しており、本評価も単精度で行った。

また、本研究における性能評価の範囲については、CG 法のように同じ入力行列を用いて何度も繰り返し疎行列ベクトル積を計算することを想定している。よって、CPU から GPU に対して演算開始の指示を送る時点を開始時刻、GPU上で演算が終了し CPU へ演算結果を書き戻すことが可能となる時点を終了時刻として扱い、計算前後の CPU~GPU 間の通信時間については性能評価の範囲に含めないこととする。

また,前処理で整形された配列を生成する部分の時間は行列1個に対して1回だけかかるのみで,多数回実行される反復計算の実行時間に比べると少ない時間(たかだか数十秒程度)であるので,ホストPC上で別途行っている.

6.2 提案システムの評価手法

本評価は模擬対象と類似した測定環境上のプログラムの 実行時間をタイマで測定することで、模擬対象の性能を予 測するシミュレーション手法 [5], [6] に基づく、その手法 では、模擬対象を所定の仮定の下でモデル化し、実行結果 の値は保証しない代わりに、実行時間的にはそのモデルと 合致するプログラムを用いる。本手法では評価環境が模擬 対象の一部として働き、共通部分のパラメータを評価環境 から引き継ぐ、本評価における模擬対象モデルは、以下の

- (1)~(4) が成立するという仮定に基づく.
- (1) 機能メモリは他のボトルネックより低くないスルー プットで gather を行える.
- (2) gather 済みデータはデバイスメモリを経由する実装とし、機能メモリインタフェースのバンド幅はデバイスメモリバンド幅全体の 1/3 以下に設定されている.
- (3) 転送済みデータ利用前の同期のオーバヘッドは十分に 小さくできる.
- (4) NaN (非数) 割込みを排除すれば実行時間へのノイズ を排除できる.

上記のすべてが成り立つと仮定した模擬対象モデルでは、デバイスメモリ上のバッファ領域に整列済みのデータへの GPU からのアクセススループットが処理速度を決める.このため、NaN(非数)割込みが発生しないようにデバイスメモリ上のバッファ領域を初期化したうえで、元のカーネルの間接参照をバッファ領域上のデータへの直接参照に置き換えたカーネルの実行時間は、評価対象の処理時間と一致する.よって、上記のプログラムを実 GPU 上で実行させ、タイマで時間を測定することで、模擬対象の実行時間を予測できる.

文献 [14], [15] の技術等で物量を十分に投入した機能メモリを用いれば、仮定 (1) を成立させることができる.提案方式では機能メモリ \rightarrow GPU 間の DMA 転送を GPU での計算とほぼオーバラップして継続実行することが可能である.よって、仮定 (3) も成立させることができる.測定に用いた GPU では NaN 以外の浮動小数の内積演算実行時間に値依存性はないため仮定 (4) も成立する.仮定 (2) も成立するようにハードウェアを作成可能であり,上記のオーバラップ実行で消費されるデバイスメモリバンド幅が性能を決めないようにできる.

よって、(1)~(4) がすべて成立する状況を実現可能とすることは妥当であり、デバイスメモリへのアクセスバンド幅が性能を決める。本評価はこの状況下の実行時間を測定することで、上記がボトルネックになる場合の模擬対象の処理性能を得る。

6.3 評価プログラム

本章の評価に用いた CG 法のプログラムはカーネル部の 列ベクトルアクセス手法が異なる以下の3種類である. い ずれも3章で提案した Fold 法による前処理を行ったもの に対して疎行列ベクトル積を行うようなプログラムになっ ている. これらによってカーネル部の列ベクトルアクセス 手法の違いのみがどのように処理速度に反映されるのかを 知ることができる.

(1) テクスチャメモリ版

本プログラムは GPU のテクスチャメモリに列ベクトルを格納し、Tex2D 関数によってアクセスすることでテクスチャキャッシュの効果を利用するものである.

性能の基準として用いるとともに、収束するまでの反復回数の採取も行い、後述する(3)の反復回数としてその値を用いる.

(2) 共有メモリ版

本プログラムは共有メモリを介してデバイスメモリ上の列ベクトルをアクセスするものである。Fermi (C2050) 環境では上記のアクセスが汎用キャッシュ (L1 および L2 キャッシュ) によって加速される。

(3) 提案システム版

本プログラムは提案システムによってデバイスメモリ上に使用する前に整列された列ベクトルを NaN (非数) 割込みが発生しないように初期化したうえでアクセスして計算に用いるものである。ソースコード上は間接参照の代わりにアラインされた位置への直接参照によるバーストアクセスとなり、Coalesced access となる。前述の仮定 $(1)\sim(4)$ がすべて成立する状況での提案システムのカーネル実行時間が再現される。初期値で与えた回数の反復を終えると終了する。

6.4 テクスチャキャッシュにおけるヒット率

C1060 環境における (1) のプログラムのテクスチャキャッシュのヒット率を測定した。測定にはプロファイラを用いた。CUDA3.0 においては tex_cache_hit および tex_cache_miss という性能カウンタの値を計測することができる。

図 6 に行列サイズ (行数) とテクスチャキャッシュヒット率の関係を示す。行数が多くなると小さなテクスチャキャッシュから列ベクトルアクセスがはみ出すため、ヒット率が悪くなっていく傾向が分かる。線形近似を行った場合、急峻な傾斜で右下がりであり、行数が大きくなったときにこの勢いでヒット率が下がると今回の測定範囲以上の大きさの行列ではキャッシュの効果はほとんど期待できない。

測定に用いた行列の中で最も行数が多い G3_circuit(行数 1,585,478)ではヒット率は 7.74%にすぎず,この程度の大きさの行列でもテクスチャキャッシュでは扱いきれず溢れている状態といわざるをえない. G3_circuit は 1 行あたりの非零要素が平均 2 と少ないため,ライン内に再利用されるデータがほとんど載っていないこともヒット率を低くする原因と考えられる.

なお、Fermi (C2050 環境) のテクスチャキャッシュの ラインサイズは L1 および L2 キャッシュのラインサイズ (128 バイト) よりは小さいため、ミスヒット率は高くて もミスヒットにともなうペナルティが少ない。よって、L2 キャッシュもあまり効かない本測定より十分大きな行列で はヒット率が低くてもテクスチャメモリ版の方が高い性能 を示す可能性があると考えられる。

行列サイズ(行数)とテクスチャセット率の関係

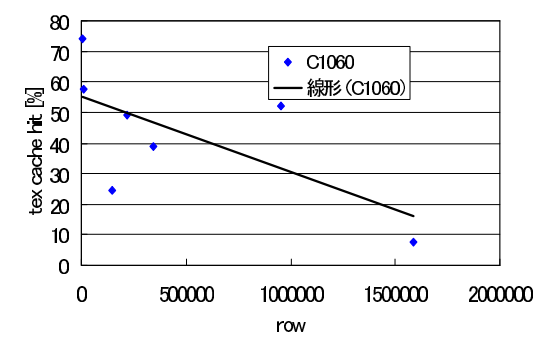


図 6 行列の行数とテクスチャキャッシュヒット率の関係

Fig. 6 Relation between the number of row and hit ratio of texture cache.

行列サイズ(行数)とL1ヒット率の関係

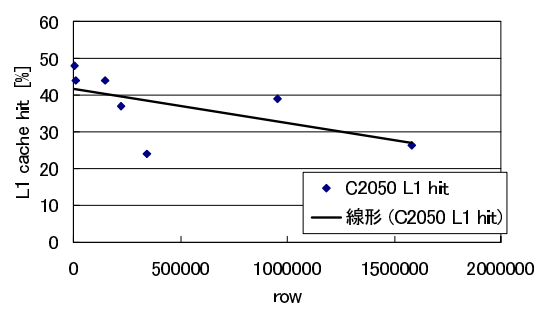


図 7 行列の行数と L1 キャッシュヒット率の関係

Fig. 7 Relation between the number of row and hit ratio of L1 cache.

6.5 汎用キャッシュにおけるヒット率

C2050 環境における (2) のプログラムの汎用キャッシュ (L1 キャッシュ) のヒット率を測定した。測定にはプロファイラを用いた。CUDA3.2 においては l1_global_load_hit および l1_global_load_miss という性能カウンタの値を計測することができる。

図 7 に行列サイズ(行数)と L1 キャッシュヒット率の関係を示す。キャッシュの Preference は L1 キャッシュが大き目(L1 が 48 KB,共有メモリが 16 KB)となる設定における結果である。行数が多くなるとテクスチャキャッシュの場合と同様に,ヒット率が悪くなっていく傾向が分かる。G3_circuit が 26.5%であり,テクスチャキャッシュを C1060 上で用いる 7.74%よりは改善されている。注意深く図 6 と図 7 の測定結果を観察すると F1 はテクスチャキャッシュを用いる場合はヒット率がさほど低くないが,汎用キャッシュを用いる場合は 23.9%とヒット率が下がることが分かる。この現象は汎用キャッシュの場合,再利用性がない行列データまでキャッシュを経由してしまっており,非零要素総数が多い F1 ではヒット率が減少する結果になったと考えられる。

6.6 1GPU 内に収まる疎行列ベクトル積性能

C1060 環境における(3)のプログラムを用い、提案手法

の疎行列ベクトル積の処理性能を測定した。提案手法の結果として示されている値は、前述の仮定 (1)~(4) がすべて成立すると仮定する。精度は単精度浮動小数とした。提案手法については折り畳みを行平均の 1.5 倍 (q=1.5) で行う場合について測定した。その結果を表 4 に示す。

ここでは折り畳んだことにより発生する累積加算時間は 隠蔽されるか、または全体の計算時間に比べ十分に小さい ものと近似している。その根拠は、行数の20%でしか累積 加算(スカラ加算)は発生しておらず、qの最適化をすれ ば様々な形状の行列でそのような水準を維持するようにで きること、発生した行については行間に依存関係がなく並 列処理でき、その累積加算数より大きい1行内の非零要素 数の長さの内積が実行時間の大半となることから、大半の 行列では累積加算時間を外して考えても議論の大筋を外さ ないと考えられるためである。

比較対象として Cevahir らの研究における実測値を文献 [4] のグラフから読み取り、併記している。S1070 の中身は C1060 と同等品が 4 個入っている製品であるため性能を直接比較可能である。上記は JDS 形式の行列格納法を基にしており、我々の最適化方針に近い方向性を有している。しかし、JDS 形式では GPU に送るべき配列が 4 種類になっており、我々の2 種類より多い。さらに、Texture メモリに対するキャッシングによってバンド幅を改善されているもののベクトルへのアクセスは間接参照であるため、差が生じていると思われる。すべての行列で文献 [4] の性能より高速化している。最も高速化したものは thermal2で、キャッシュの効果をまったく使っていないにもかかわらず、文献 [4] の 4.1 倍の性能が得られた。

また、JDS 形式では結果の書き込みにおいても間接参照になっており、この部分が Coalesced access にならない、元来、JDS 形式は間接参照にも強いベクトルプロセッサ向けに開発された方式であり、この点で必ずしも GPU向けになっていない。これに対して提案方式では結果の書き込みもすべて Coalesced access になっており、この点も差が生じている要因の1つと考えられる。平均の1.5倍の位

表 4 疎行列ベクトル積性能 [GFLOPS] の他実装との比較 **Table 4** Performance of sparse matrix vector product [GFLOPS].

	JDS [4]	提案手法
使用 GPU	S1070	C1060
Na5	3	5.31
$\mathrm{msc}10848$	3.5	8.38
$exdata_1$	3.4	8.01
$G3$ _circuit	9	15.08
thermal2	3.3	13.54
hood	11.5	13.18
F1	7.1	11.25
ldoor	9.8	13.30

置での折り畳みを適用した提案アルゴリズムによって列数 (最内側ループ数,実行時間に対応) は最低で 1/5.3,平均 1/3.0 となるのに対し、行数 (スレッド数) は今回測定した全行列に対しては平均 1.2 倍にしか増加しなかった.非零要素数が多い上位 5 種類に着目すると平均 1.08 倍にしか行は増えない。行の増加率は列の減少率による高速化を鈍らせる方向に働くが、大きな行列では行増加率が低水準にある。よって、折り畳みは行列サイズの増加に対して好ましい傾向を示していることが分かる。

なお、q=1.5 の条件で負荷分散がうまくいっていた thermal2 のみについては平均の 1.5 倍の位置の折り目が最大値を超え、折畳みは発生しなかった。よって、この場合の動作は最大値合わせを行う場合と同じになる。

上記では折り目を平均の 1.5 倍に固定して測定を行った。 しかし、この 1.5 という係数 q には何らか根拠があるわけ ではなく、傾向をつかむために最初に測定を試みた条件に すぎない。つまり、最適化の余地を残している。

なお、機能メモリのインタフェースとして 32 ビット幅の GDDR5 メモリポート 1 ポート分が追加された場合は、28 GB/s すなわち 14 GFLOPS 相当、PCI express Gen. 3 x16 の 2 倍弱のバンド幅を機能メモリアクセスに用いることができる。その場合、機能メモリのインタフェースのバンド幅はボトルネックにならないと考えられる。

6.7 列ベクトルアクセス法の違いによるカーネル実行時間

前述の3種類の評価プログラムのカーネル実行時間を表5に示す。実行時間の積算値を反復回数で割り算した平均値を示している。時間測定にはCUDA Event を用いる方法で行った。表中の数値のすべて単位はミリ秒である。現状のカーネルは疎行列ベクトル積の大半の計算を担っているが、行折り畳みの部分和の足し込みを行う後処理についてはカーネル外(ホストでの実行)となっている。

C1060 のテクスチャキャッシュを用いたもの(Texture)を 1.0 とした際の速度比を図 8 に示す.結果としては,すべての行列において提案方式が高速である.ただし,追加ハードウェアの効果はこれらの小さめの行列に対しては限

表 5 列ベクトルアクセス法の違いによる実行時間 [ms] **Table 5** Processing times for the variation of accessing method of row vector [ms].

	C1060			C2050		
	texture	共有	提案	共有	提案	
Na5	0.082	0.110	0.037	0.048	0.040	
msc1848	0.205	0.392	0.119	0.128	0.113	
$G3$ _circuit	1.281	1.558	0.750	0.757	0.583	
thermal2	0.942	1.451	0.518	0.495	0.440	
hood	1.176	2.338	0.812	0.827	0.740	
F1	4.770	7.404	3.596	2.890	1.981	
ldoor	4.987	10.33	3.568	3.577	3.188	

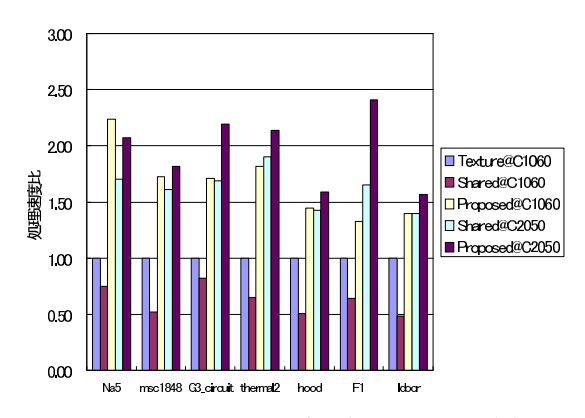


図8 列ベクトルアクセス法の違いによる処理速度比

Fig. 8 Processing speed ratio for the variations of access method for row vector.

定的であることが分かる.この結果をいい換えると,提案ハードウェアは小さい行列におけるテクスチャキャッシュや汎用キャッシュがある程度効いている状態の GPU のスループットと同等以上のスループットをキャッシュの効果に頼らずに置き換え可能であることが分かる.前節の実験より行列の巨大化はキャッシュの効果を減らすことと合わせると,今回の実験より大きな行列を用いると提案ハードウェアの有無による差は広がると考えられる.

C2050 上では C1060 上であまり高速化しなかった Shared のプログラムがデバイスメモリバンド幅の向上と汎用キャッシュの効果によって C1060 上の提案方式なみに高速化した。この範囲の行列サイズでは L1 はミスだが,まだ L2 ではヒットしていると考えられる。しかし L1 全体に比べて L2 の容量は極端に大きいわけではないので,L1 と同様な 限界性は行列をさらに大きくしていくと顕在化すると考えられる

なお, 文献 [16] には F1 と ldoor の 2 つの行列には倍精 度の場合の C2050 上での疎行列ベクトル積の JDS 形式等 を用いた場合の処理時間が記載されている. 提案システム を用いず前処理のみ用いている表 5 中の時間 (C2050 の共 有) は, F1 の場合は文献 [16] の JDS の 1/4.1, ldoor の場 合は ELL の 1/2.74 の時間である. 倍精度と単精度の違い でバンド幅が半分で済むことにより 2 倍弱の性能差が出る ことを考慮しても、前処理アルゴリズム(Fold法)だけで も従来方式より高速化が得られていると考えられる. Fold 法は Segmented Scan (SS) 法 [17] と同様に負荷分散を改 善するが、上記で取り上げた文献 [16] に記載の2つの性能 は文献 [16] 上で測定された SS 法よりも大幅に高速である. Fold 法は整形によりアラインさせ Coalesced access を促進 した効果もあるが、主な理由は SS 法が本質的に GPU の 演算器 (乗算と加算の並列実行能力) を有効活用できない のに対し、Fold 法は内積演算が主体になるため有効活用で きることが2倍の性能差を生むことになると考えられる.

6.8 1GPU 内に収まらない疎行列ベクトル積性能

まず、提案システム上で機能メモリにデータがセットされた状態から行列ベクトル積の結果を1回 GPU 上で計算し終わるまでの性能を考える。提案システムは1台の機能メモリとそれに接続している GPU をノードとして、それらが行分割によってノード間の通信をまったく行わず、完全に並列に動作する。よって、機能メモリに乗ずるべきベクトルが入りきる十分に大きな問題の場合には、GPU間通信というスケーラビリティ制約要因を完全に排除している。このため、GPU内に収まる疎行列ベクトル積の性能に、ノード数を乗じたものがシステム全体の性能となる。さらに、GPU間通信が皆無であることから、提案システムのスケーラビリティと行列の形状は無関係である。

提案システム上では GPU が必要なバンド幅と機能メモリの実効バンド幅のバランスに応じて GPU と機能メモリの個数の比率を決めればよい。機能メモリを複数用いた場合には図1のようにベクトルのコピーが機能メモリに保持される。このため複数の機能メモリを反復法の中で用いる場合は、結果ベクトルをすべての機能メモリに書き込む時間が固有のオーバヘッドとして加わる。このオーバヘッドが反復法のプログラムの中で隠蔽できない場合は前段落での FLOPS 値は若干劣化する。提案手法の反復法のプログラムへの実装と評価は今後の課題とする。

このオーバヘッドは結果のホストへの転送時間と、ホストから全機能メモリへの放送時間からなる。これらはいずれもバースト転送になるため PCI express や相互結合網上では効率的に転送され、計算時間全体と比較して小さいと考えられる。前者(ホストへの転送)についてはすべてのノードで並列実行できるのでスケーラビリティに影響を与えない。後者(機能メモリへの放送)については、同じデータをすべてに放送する通信はネットワーク側の対応によってスループットをノード数に非依存にできる。つまり、ノード数に非依存な若干の遅延付加はあったとしても、スケーラビリティに影響を与えないように実装することができる。

一方、Cevahir らの研究 [4] では、上記の評価で用いた行列については PCI express スイッチで接続された TeslaC1070内部の 4 台の GPU を用いても 1 台の GPU の場合の 0.8 倍から 1.1 倍程度のスケーラビリティしかない。さらに、乗ずるべきベクトルがデバイスメモリ上に載りきらない場合は、GPU ごとに分割してそのベクトルを保持することになる。このため、他の GPU が保持している部分ベクトル上のデータをネットワーク経由でとりにゆく必要がある。分割台数が大きくなればなるほど、ローカルのデバイスメモリにある確率は減るためスケーラビリティ問題が深刻化すると考えられる。よって、デバイスメモリ上にすべてが載っている場合の測定値である上記の FLOPS 値からさらに絶対性能や、スケーラビリティが劣化するのは確実であ

ると考えられる.

さらに、Cevahir らの最近の別の研究 [12] では、前処理として hypergraph-partitioning [13] を上記に追加して通信を抑制することで、スケーラビリティを改善した。その結果、32ノードの PC クラスタ上で 64 台の Tesla を用いて94 GFLOPS を達成している。これを GPU1 台あたりにすると 1.47 GFLOPS であり、1GPU での実行の FLOPS値 [4] よりかなり落ち込んでいる。より大きなクラスタに対してはパーティションの減少にともない通信の増加が必然なため、さらなる効率の低下が避けられないものと考えられる。さらに、パーティショニングはたとえば分割したときに通信を発生させる境界接点数の全接点数に対する割合が少なくなる棒状のものを離散化したときのように本質的にうまくいく場合と、うまくいかない場合があり、スケーラビリティと行列の形状は敏感であると考えられる。これに対して、提案方式にはそのような欠点がない。

7. おわりに

本論文では、長い行を適切な折り目で折り畳む疎行列ベクトル積のアルゴリズム(Fold 法)を提案した。Fold 法は負荷分散を改善し並列性を高める。これが生成した行列はCPUにおいては小さい行列のようにキャッシュが効く場合は有効性が期待できる。それを転置して用いる方式はGPU向けのアクセス順序にしている。

汎用キャッシュを搭載した GPU (C2050) において疎行 列ベクトル積では $20\sim50\%$ 程度の L1 ヒット率しかなく, 行数が大きくなるほどヒット率が悪化する傾向を確認した。 ヒット率が悪化すると間接参照にともなうランダム性 の高いアクセスにより性能低下が顕在化する.

この問題を解決するための提案アーキテクチャは、メモリ容量とランダムアクセススループットを強化した機能メモリ(メモリアクセラレータ)がバーストアクセスによりGPU上に整列したデータを転送する。その結果、キャッシュに依存せずに高いアクセス性能が得られる。

さらに、Florida University Sparse Matrix Collection を用いて提案方式の性能評価を行った。その結果、単体性能においては、負荷分散が最初からとれている行列においては先行研究 [4] の最大 4.1 倍の性能向上を観測した。行折り畳みを実装することで他の行列でも負荷分散が良くなり、測定に用いたすべての行列で加速が得られた。先行研究での測定はキャッシュがある程度効いている状態と考えられるが、本手法は先行研究とは異なり、キャッシュの効果をいっさい使っていない。よって、さらに大きな行列を扱うときのヒット率低下による性能低下の心配もない。

GPU 側に GDDR5 メモリ 1~2 チップ分の専用ポート 追加または切換え可能とする改良を加えたり、デバイス メモリとして Scatter/Gather 機能付きの Hybrid Memory Cube を採用したりすることにより、PCI express を利用す る構成におけるボトルネックを解消できると考えられる.

一方、多数の GPU を用いて大きな行列を扱う場合、素の GPU のデバイスメモリ容量不足にともなう細粒度でランダムな GPU 間の 1 対 1 通信が、提案方式ではローカルな大容量メモリアクセラレータへのバーストアクセスに変換されている。多数の GPU を用いる場合、複数のメモリアクセラレータを用いることによってバンド幅を拡張できる。その場合は列ベクトルのコピーを保持する必要があるが、放送通信はネットワークの工夫によりスケーラブルにできる。以上より、提案方式は行列サイズと有効に利用できる GPU 数の両面から優れたスケーラビリティが確保されているといえる。

今後の課題は行折り畳みの最適化を実装した評価,加速率におけるアルゴリズム寄与分の分離評価,ストリーミングの実装と評価,大きな行列に対する実験評価,各種クリロフ系ソルバへの実装と評価,ライブラリやコンパイラ等のアプリ開発環境の整備,機能メモリの設計と評価等がある.

謝辞 本研究の一部(DIMMnet-2の開発)は総務省戦略的情報通信研究開発推進制度(SCOPE)の一環として行われたものである。

参考文献

- [1] Nvidia: CUDA Community Showcase, available from \(\lambda \text{http://www.nvidia.com/object/}\) cuda-apps-flash-new.html\(\rangle\).
- Bell, N. and Garland, M.: Eficient Sparse Matrix-Vector Multiplication on CUDA, NVIDIA Technical Report NVR-2008-004 (Dec. 2008).
- [3] Baskaran, M.M. and Bordawekar, R.: Optimizing Sparse Matrix-Vector Multiplication on GPUs, *IBM Research Report*, RC24704 (Apr. 2009).
- [4] Cevahir, A., Nukada, A. and Matsuoka, S.: An Efficient Conjugate Gradient Solver on Double Precision Multi-GPUSystems, Symposium on Advanced Computing Systems and Infrastructures (SACSIS2009), pp.353–360 (May 2009).
- [5] Tanabe, N., Nakatake, M., Hakozaki, H., Dohi, Y., Nakajo, H. and Amano, H.: A New Memory Module for COTS-Based Personal Supercomputing, Innovative Architecture for Future Generation High-Performance Processors and Systems, pp.40–48 (Jan. 2004).
- [6] Tanabe, N., Hakozaki, H., Dohi, Y., Luo, Z. and Nakajo, H.: An enhancer of memory and network for applications with large-capacity data and non-continuous data accessing, *The Journal of Supercomputing*, Vol.51, No.3, pp.279–309 (2009).
- [7] Micron Technology Inc.: Hybrid Memory Cube, available from \(\http://www.micron.com/innovations/\) hmc.html\\ \).
- [8] Dosanjh, S.S.: Exascale Computing and The Institute for Advanced Architectures and Algorithms (IAA), (Apr. 2008), available from (http://www.hpcuserforum.com/presentations/Norfolk/Sandia%20IAA.hpcuser.ppt).
- [9] Davis, T.: The University of Florida Sparse Matrix Collection, available from http://www.cise.ufl.edu/

- research/sparse/matrices/.
- [10] Buttari, A., Dongarra, J., Kurzak, J., Luszczek, P. and Tomov, S.: Using Mixed Precision for Sparse Matrix Computations to Enhance the Performance while Achieving 64-bit Accuracy, ACM Trans. Math. Softw., Vol.34, No.4, Article 17 (2008).
- [11] Cevahir, A., Nukada, A. and Matsuoka, S.: Fast Conjugate Gradients with Multiple GPUs, The International Conference on Computational Science 2009 (ICCS 2009), pp.893–903 (May 2009).
- [12] Cevahir, A., Nukada, A. and Matsuoka, S.: High performance conjugate gradient solver on multi-GPU clusters using hypergraph partitioning, Computer Science Research and Development, Vol.25, No.1-2, pp.83-91 (May 2010).
- [13] Catalyurek, U.V. and Aykanat, C.: Hypergraph-partitioning based decomposition for parallel sparse-matrix vector multiplication, *IEEE Trans. Parallel and Distributed Systems*, Vol.10, No.7, pp.673–693 (1999).
- [14] 田邊 昇, Nuttapon, B., 中條拓伯: Gather 機能付き拡張メモリのアクセス性能の評価, 情報処理学会 HPC 研究会, Vol.2010-HPC-128 (Dec. 2010).
- [15] 田邊 昇, Nuttapon, B., 中條拓伯, 小川裕佳, 高田雅美, 城 和貴: GPU と拡張メモリによる疎行列ベクトル積 性能の行列形状依存性軽減, HPC 研究会研究報告 2010-HPC-129 (Mar. 2011).
- [16] 久保田悠司,高橋大介:GPU における格納形式自動選択 による疎行列ベクトル積の高速化,HPC 研究会研究報告 2010-HPC-128 (Dec. 2010).
- [17] 大島聡史, 櫻井隆雄, 片桐孝洋, 中島研吾, 黒田久泰, 直野健, 猪貝光祥, 伊藤祥司:Segmented Scan 法の CUDA 向け最適化実装, HPC 研究会研究報告 2010-HPC-126 (Aug. 2010).
- [18] 小川裕佳, 田邊 昇, 高田雅美, 城 和貴: GPU と機能 メモリを用いたヘテロシステムによるスケーラブルな疎 行列ベクトル積高速化の提案, SACSIS2010, pp.109–110 (May 2010).



田邊 昇 (正会員)

1985 年横浜国立大学工学部卒業. 1987年同大学院工学研究科博士前期課程修了.同年(株)東芝に入社.1998年より2001年まで新情報処理開発機構つくば研究センターに出向.現在,(株)東芝・研究開発センター勤務.疎

行列処理,並列処理,並列アーキテクチャ,メモリシステムアーキテクチャに関する研究に従事.工学博士. 2005年情報処理学会山下記念研究賞受賞. HPC Asia2009 Best paper award 受賞.電子情報通信学会会員.



小郷 絢子

2010 年奈良女子大学理学部情報科学 科卒業. 2012 年同大学大学院人間文 化研究科博士前期課程情報科学専攻修 了. GPGPU および疎行列処理の高速 化に関する研究に従事. 2012 年日立 製作所入社. 現在に至る.



小川 裕佳

2007 年奈良女子大学理学部情報科学 科卒業. 2011 年同大学大学院人間文 化研究科博士前期課程修了. GPGPU および疎行列処理の高速化に関する研 究に従事. 2011 年富士通(株)入社. 現在に至る.



高田 雅美 (正会員)

1977年生. 2004年奈良女子大学大学院人間文化研究科複合領域科学専攻修了. 博士(理学)を同大学より取得. 2004年独立行政法人科学技術振興機構戦略的創造研究推進事業において,京都大学大学院情報学研究科にて委嘱

研究員. 2006 年奈良女子大学大学院人間文化研究科助手. 2007 年奈良女子大学大学院人間文化研究科複合現象科学 専攻助教. 数値計算ライブラリの開発, 分散メモリ環境を対象とする並列プログラムの開発に関する研究に従事.



城 和貴 (正会員)

大阪大学理学部数学科卒業.日本 DEC, ATR 視聴覚研究所 (日本 DEC より出向), (株) クボタ・コンピュー タ事業推進室で勤務の後, 1993 年奈 良先端科学技術大学院大学情報科学研 究科博士前期課程入学, 1996 年同研

究科後期課程修了,同年同研究科助手. 1997 年和歌山大学システム工学部講師,1998 年同助教授. 1999 年奈良女子大学理学部情報科学科教授,現在に至る,博士(工博).情報処理学会論文誌数理モデル化と応用編集委員長.